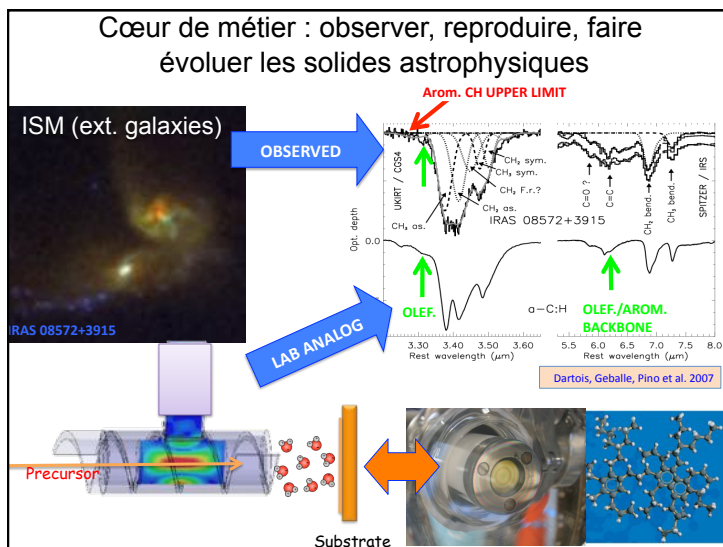


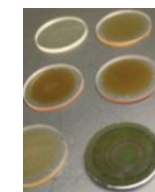
Compétences

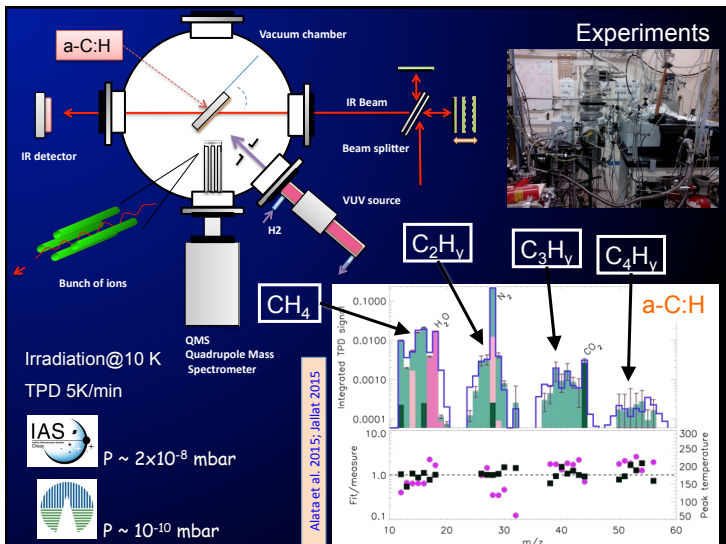
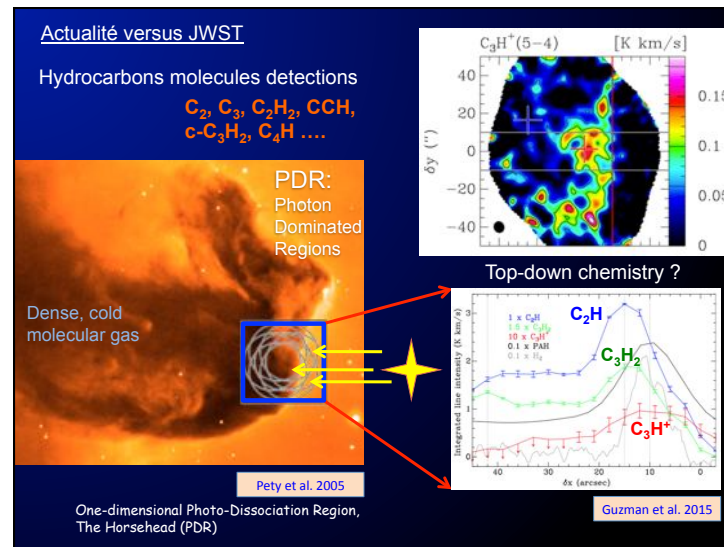
- Production d'analogues à la poussière interstellaire
- Interaction VUV-solide aux T interstellaires
- Interaction ion-solide aux T interstellaires
- μ -spectroscopie IR pour l'étude des analogues et de la matière extraterrestre collectée (+ spectroscopie Raman/UV-Vis)
- Mesure des signatures pour la télédétection spatiale
- Observations des solides du milieu interstellaire
- Préparation d'observations et réduction de données spatiales



Moyens mis en œuvre

- Spectromètres IR à transformée de Fourier
- Cryostats couplés à des chambres de dépôts de matrices de glace
- Lampe à décharge d'hydrogène micro-onde (source VUV)
- QMS
- Spectromètre UV/Visible basse résolution
- Accès à un microscope FTIR sur la ligne SMIS/ SOLEIL.
- Source plasma
- Montage « Nanograins »
- Spectromètre Raman « maison »
- + moyens exp via nombreuses collaborations (e.g. accélérateurs, HRTEM)

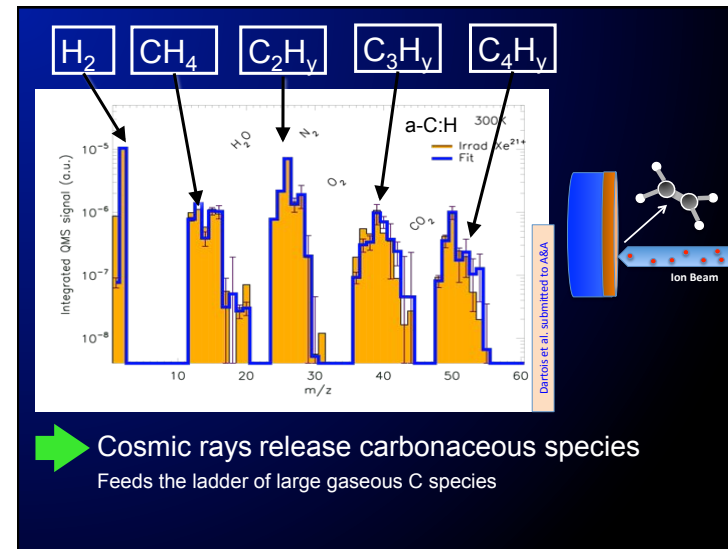
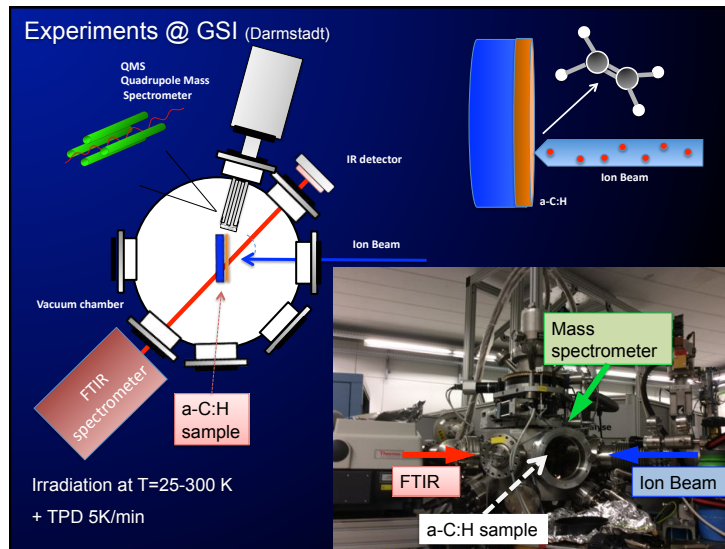
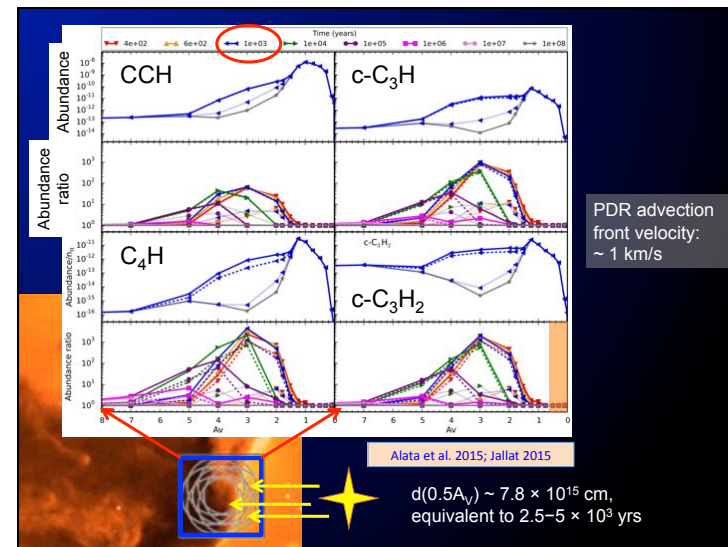
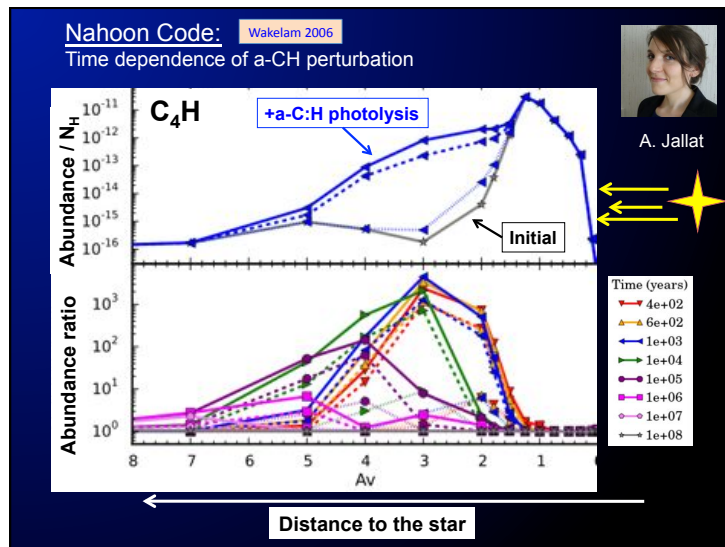


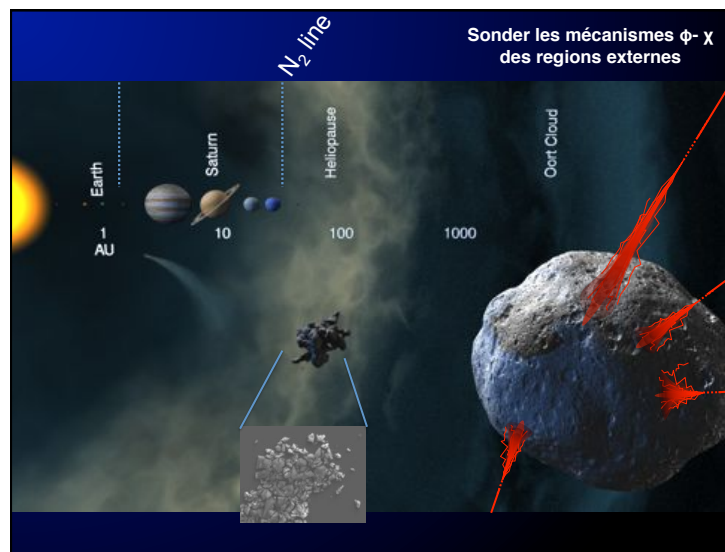
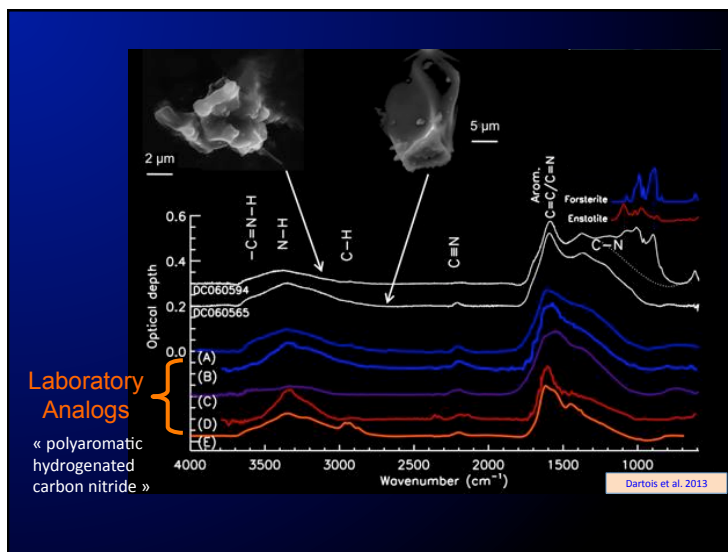
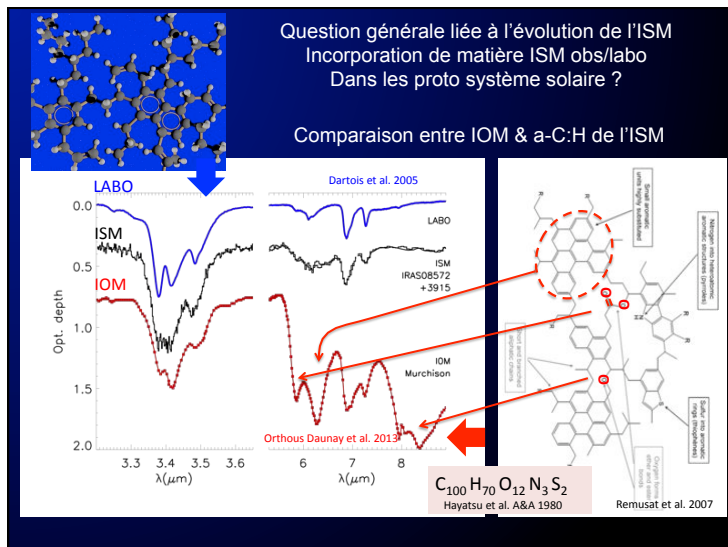


Model implementation: $\text{a-C:H} + \text{VUV photon} \rightarrow \text{a-C:H} + \text{C}_x\text{H}_y$

Photoproduced species	Yield (%)	Photolytic rate (10^{-14}s^{-1})	
H_2	$96.5 (\pm 3.0)$	2.79×10^3	Model I
CH_4	$3.0 (\pm 1.0)$	86	
C_2H_2	$0.081 (\pm 0.060)$	2.3	
C_2H_4	$0.195 (\pm 0.072)$	5.6	Model II
C_2H_6	$0.246 (\pm 0.063)$	7.1	
C_3H_4	$0.042 (\pm 0.036)$	1.2	Model III
C_3H_6	$0.114 (\pm 0.057)$	3.3	
C_3H_8	$0.075 (\pm 0.060)$	2.2	
C_4H_4	≤ 0.009	-	
C_4H_6	≤ 0.027	-	
C_4H_8	≤ 0.027	-	
C_4H_{10}	≤ 0.027	-	

Alata et al. 2015; Jaffet 2015





Questions à la collaboration

- Observations comparaison régions à fort ζ et fort χ
- Observations disques externes (gaz et solides)

JWST- W4- kickoff meeting

Team “gas phase”: M. Chabot & K. Béroff

Nos compétences

- Interaction ion-atome dans le régime électronique.
- Interaction ion-molécule
- Interaction ion-solide
- Interaction ion-plasma
- Interaction ion- électronique spatiale
- Notre activité présente : Physique moléculaire – fourniture de rapport d'embranchement pour les réactions chimiques du MIS à KIDA – Conséquences des CR de basses énergies – voir Manu report sur les expériences GSI en cours-

Notre cœur de métier: AGAT

- Un dispositif est installé auprès des accélérateurs de l'IPNO qui fournissent des faisceaux de molécules au MeV (Andromède et ALTO). La physique de la collision molécule atome ainsi que les effets induits sur la molécule sont étudiées.

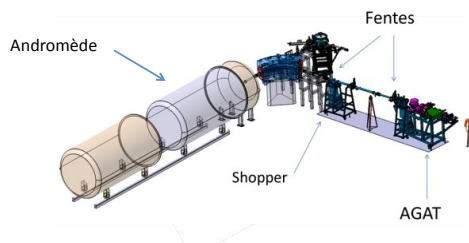
- Avec les données du set-up nous construisons des Breaks Down Curve (BDC) semi-empirique qui permettent de prédire raisonnablement les RB des réactions chimiques pour un complexe intermédiaire donnée.

Reaction	Model	KIDA	OSU	UDIA	$IP/\Delta E$
$C_2H^+ + e^- \rightarrow$					11.6
C_2H	$0.58(\pm 0.05)$	0.43	0.43	0.44	6.59
C_3H	$0.34(\pm 0.04)$	0.39	0.39	0.56	3.74
$C/C/H$	$0.08(\pm 0.05)$	0.18	0.18		0.1

Chabot, M., Béroff, K. et al. *APJ* **771**, 90 (2013)

A quoi sert le budget JWST

- Construire l'infrastructure d'accueil d'AGAT à Andromède (optique, mécanique, électrique, vide) -Thèse démarrée oct 2016 -

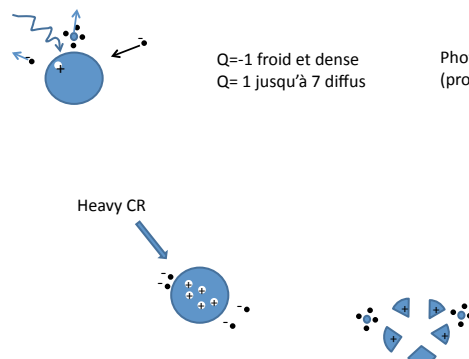


Notre actualité Vs JWST

- Fin des mesures pour les BR des CnN (qui pourrait venir des grains !?) -> KIDA.
- Début (suite) mesure RB hydrocarbures.
- Mise en phase gazeuses des molécules à partir de la phase solide par les CR et les UV (PDR).
- Etude des interactions CR - grains

Contexte CR & Grain

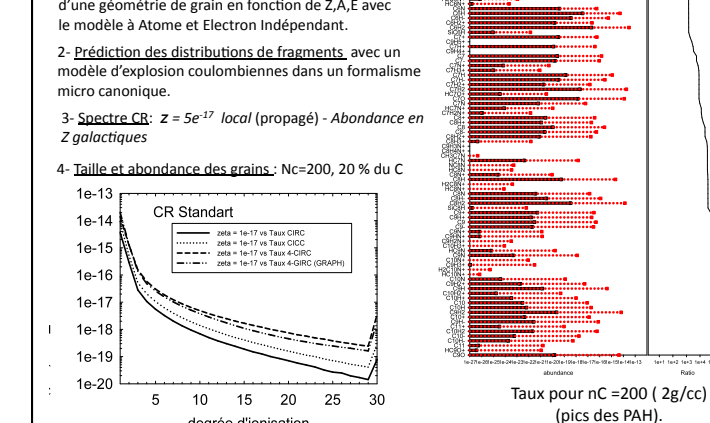
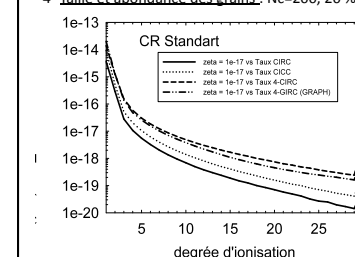
In progress A&A 2017



Modélisation CR & GRAINS

In progress A&A 2017

- Section efficace d'ionisation (simple, et multiple) d'une géométrie de grain en fonction de Z,A,E avec le modèle à Atome et Electron Indépendant.
- Prédiction des distributions de fragments, avec un modèle d'explosion coulombiennes dans un formalisme micro canonique.
- Spectre CR: $z = 5e^{-17}$ local (propagé) - Abondance en Z galactiques
- Taille et abondance des grains: $N_C=200$, 20 % du C



Questions à la collaboration ?

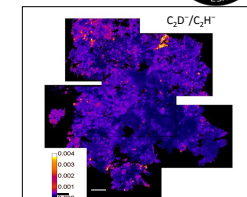
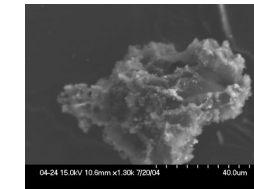
La détection chimie n'est pas loin du niveau de sensibilité pour assurer une signature des PAH par multibrûlement induit par les CR. Comment les études sur les grains de JWST peuvent orienter des recherches pour maximiser une éventuelle signature ?

Y a-t-il des régions favorables à observer ? (fort zeta, PAH anormaux, forte chimie)

Que se passe t'il dans pour des champs de CR stellaires ? A inclure dans les codes de modélisation en // avec les mesures pour les champs radiatifs UV & les Grains ... collaboration....



W4 Organics



Post-Doc P2IO : Emeline Charon

J. Duprat, C. Engrand, M. Godard, L. Delauche, G. Slodzian
(CSNSM)
E. Dartois
(IAS)



IAS, CNRS/INSU ; CSNSM, CNRS/IN2P3
Univ. Paris Sud, Univ. Paris Saclay

Collaborations avec IPNO, ISMO, LCP, IMPMC-MNHN, UMET, IPAG
US, Japan, ...



Compétences

- Collecte et analyse de matériaux interplanétaires
- Spectrométrie de masse à émission ionique secondaire.
- Caractéristiques minéralogique, chimique et isotopique de la matière extraterrestre
- Irradiation/implantation @ low nrj (Plateforme JANNUS/SCALP)
- Analyses de poussières cométaires (Rosetta)

IAS

CSNSM

IPEV INSTITUT POLAR FRANÇAIS

La collection de micrométéorites CONCORDIA

CNRS

Janvier 2016, succès de l'expédition CSNSM-IAS à Dôme C :

- Plusieurs milliers de micrométéorites ont été ramenées à Paris-Saclay
- Caractérisation chimique, minéralogique directe en salle blanche (plateforme MYRTHO, EDX, RAMAN...)

Une collection unique, des particules interplanétaires dans un état de conservation inégalé

